

مدل سازی میکرومکانیکی رفتار تغییر شکل در مقیاس میکروساختار فولاد ضد زنگ ۳۱۶L بر پایه مدل میکروساختاری با استفاده از روش اجزاء محدود کریستال پلاستیسیته

بهرام بندشه^۱، عبدالرحمان جامی‌الاحمدی^{۲*}

۱- دانشجوی کارشناسی ارشد، مهندسی مکانیک، دانشگاه فردوسی مشهد، مشهد
۲- استادیار، مهندسی مکانیک، دانشگاه فردوسی مشهد، مشهد
*مشهد، کد پستی ۹۱۷۷۹۴۸۹۷۴ jaami-a@um.ac.ir

چکیده

ماهیت ناهمسان گرد دانه های موجود در بافت فلزات کریستالی سبب به وجود آمدن ناسازگاری بین دانه ها در هنگام تغییر شکل می شود. این پدیده با کوچکتر شدن مقیاس تا حد میکرو و مزو، تشدید می شود. ناهمنگی موجود در تغییر شکل در مقیاس میکرو را با قوانین بنیادی تئوری پیوسته پلاستیسیته نمی توان مورد بررسی قرار داد. در این مطالعه رفتار تغییر شکل لغزشی فولاد ضد زنگ استینلس ۳۱۶L در مقیاس های یاد شده با استفاده اجزاء محدود کریستال پلاستیسیته مدل سازی شده است. فرمول بندی مدل ماده با استفاده از زیربرنامه UMAT به نرم افزار آباکوس معرفی شده است. اعتبارسنجی با استفاده از مقایسه نتایج حل به روش کریستال پلاستیسیته حاصل از آباکوس با نتایج تحلیلی حاصل نرم افزار متلب، انجام شده است. نتیجه مقایسه حاکی از تطابق خوب نتایج عددی و تحلیلی می باشد. در بخش دوم مدل سازی آزمون کشش روی نمونه فولاد ضد زنگ حاوی یک دانه به روش اجزاء محدود کریستال پلاستیسیته انجام شده است و با نتایج تجربی مورد مقایسه قرار گرفته است. نتایج نشان می دهد که رفتار تغییر شکل و پویایی شدن تک کریستال با روش پیشنهاد شده قابل پیش بینی بوده در حالیکه روش اجزاء محدود مکرومکانیک از شناسایی این رفتارها ناتوان می باشد. در بخش پایانی، مدل پلی کریستال میکروساختار با تعداد ۱۰ دانه تولید شد. با تعریف جهات کریستالی متفاوت برای مدل میکروساختار تولید شده، تحلیل اجزاء محدود کریستال پلاستیسیته روی آن صورت گرفت. نتایج حاکی از غیریکنواخت بودن تغییر شکل در مقیاس دانه بنده است. همچنین با تغییر جهات کریستالی نمودار تشکیل کرنش ماده در بخش پلاستیک رفتارهای متفاوتی را نشان می دهد.

اطلاعات مقاله

مقاله پژوهشی کامل
دریافت: ۲۰ مهر ۱۳۹۳
پذیرش: ۰۶ اذر ۱۳۹۳
ارائه در سایت: ۰۳ دی ۱۳۹۳
کلید واژگان:
روش اجزاء محدود کریستال پلاستیسیته
Zیربرنامه UMAT
مکرومکانیک
فولاد ضد زنگ L316
دانه بندی ورونوی

Microstructure based micromechanical modeling of microstructural scale deformation in stainless steel 316L using crystal plasticity FEM

Bahram Bandeshah, Abdolrahman Jaamialahmadi*

Department of Mechanical Engineering, Ferdowsi University Of Mashhad, Mashhad, Iran
* P.O.B. 9177948974 Mashhad, Iran, jaami-a@um.ac.ir

ARTICLE INFORMATION

Original Research Paper
Received 12 October 2014
Accepted 27 November 2014
Available Online 24 December 2014

Keywords:
Crystal plasticity FE modeling, UMAT
micro-mechanics modeling
Voronoi tessellation
representative volume element(RVE)

ABSTRACT

Grains in polycrystalline texture have anisotropic deformation nature. This cause material to show completely different behavior at meso and micro scale than they do at macro scale. To be specific, deformation at these scales is heterogeneous and cannot be modeled using constitutive equation in continuum plasticity. In this paper, in order to investigate deformation behavior of 316L stainless steel at micro scale a crystal plasticity finite element (CPFE) modeling system has been developed. The crystal plasticity equations were implemented in the ABAQUS/Implicit FE code through a user-defined material subroutine, UMAT. Verification was done through comparing the CPFE result against those obtained through implementing crystal plasticity formulation in MATLAB software. Comparison show good agreement between the analytical and CFPE result. Afterward, three dimensional simulation of tensile test on Stainless Steel type 316L is carried out using CPFE method and continuum macro mechanic FE. Deformation characteristic and localization behavior of single grain specimen during tensile test has been captured and predicted using CPFE method; on the other hand, macro mechanic finite element is unable of predicting localization and evolution of lattice at micro and meso scale. At the last part, a set of CPFE analysis are conducted on representative volume elements with 10 Grain and 5 set of different grain orientations. Results show a scattering in plastic part of stress-strain response of material with switching from one set of grain orientation to another set. It has been found that the material behavior at these scales is highly direction dependent.

پلی کریستال باعث به وجود آمدن ناسازگاری بین دانه ها می شود. وجود این

گستره وسیعی از فلزات مورد استفاده در کاربردهای مهندسی به صورت واقعیت در فرایند تغییر شکل فلزات دلالت بر این دارد که تغییر شکل در مقیاس ریز ساختار ناهمنگ می باشد. مواد پلی کریستال در مقیاس میکرو و پلی کریستال می باشند. ناهمسان گردی الاستیک و پلاستیک دانه ها در مواد

Please cite this article using:

B. Bandeshah, A. Jaamialahmadi, Microstructure based micromechanical modeling of microstructural scale deformation in stainless steel 316L using crystal plasticity FEM, *Modares Mechanical Engineering*, Vol. 15, No. 2, pp. 113-123, 2015 (In Persian)

برای ارجاع به این مقاله از عبارت ذیل استفاده نمایید:

می‌توان با تخصیص درصدهای فازی مختلف به آن، رفتار مکانیکی فولاد دو فازی را مطالعه نمود^[4,3].

از مطالعات انجام شده در این زمینه می‌توان به پژوهش جعفری و همکاران^[5] بر روی رفتار مکانیکی آهن معمولی به روش کریستال پلاستیسیته اشاره نمود. آنها در مطالعه خود مدل میکروساختار دو بعدی ساده‌های را تولید نمودند. در پژوهش یاد شده، اندازه همه دانه‌ها یکسان و برابر با 50 میکرون در نظر گرفته شد. این مطالعه علی‌رغم اینکه رهیافت جدیدی محسوب می‌شود اما از مدل میکروساختار مشابه به حالت واقعی استفاده نکرده است. همچنین بدلیل استفاده از مدل میکروساختار دو بعدی به جای مدل سه‌بعدی و در نظر گرفتن اندازه دانه یکسان، نمی‌تواند اطلاعات دقیقی از وضعیت تغییرشکل در مقیاس میکروساختار و نحوه برهم کنش دانه‌ها ارائه دهد.

از دیگر مطالعات انجام شده در این زمینه می‌توان به مقاله رضایی‌باز و همکاران^[6] در سال 2012 اشاره کرد. آن‌ها در مطالعه خود با استفاده از تصویر برداری SEM¹⁰، میکروساختار دو بعدی فولاد دوفازی فریت- مارتزیت را تولید کردند و با تعریف مدل ماده وس¹¹ در نرم‌افزار آباکوس و وارد کردن مدل هندسی میکروساختار به دست آمده از SEM به نرم‌افزار آباکوس، منحنی تنش-کرنش و الگوی شکست فولاد دوفازی را شبیه‌سازی کردند. این تحقیق بدلیل عدم استفاده از تئوری کریستال پلاستیسیته قابلیت شناسایی پدیده‌های حاصل از لغزش کریستالی و همچنین تاثیرات بافت را دارا نمی‌باشد. در مطالعه [7] در سال 2005 آلیاژی مجازی از آهن و مس با هدف تعیین تنش بین گره‌ها در فازهای مختلف شبیه سازی شد. در این تحقیق هر دانه به 48 جزء¹² گرمای تقسیم شده بود و دانه‌ها دارای اشکال ابتدائی بودند. در سال 2013 پال¹³ [8] مطالعه‌ای میکرومکانیکی بر روی میکروساختار فولاد دوفازی DP590 با هدف مشاهده رفتار تغییرشکل، موضعی شدن کرنش پلاستیک و ناپایداری پلاستیک انجام داد. در تحقیق یاد شده موضعی شدن کرنش به خاطر تغییرشکل‌های ناسازگار بین فاز سخت مارتزیت و فاز نرم فریت، گزارش شد. همچنین الگوهای واماندگی متغیر بر روی مدل اجزاء محدود مورد بررسی قرار گرفت. وی دریافت که الگوی واماندگی موضعی ارتباط تنگاتنگی با وضعیت تنش در ماده دارد. گنتزالس^[9] در سال 2012 در رساله دکتری خود تغییرشکل پلی کریستال‌ها و تنش‌های پسماند در آن‌ها را در مقیاس میکروساختار مورد بررسی قرار داد. وی همچنین تاثیرات درصد فازها در آلومینیا¹⁴ را مطالعه کرد. رهنما و فرهنگ‌دوست^[10] در سال 2012 مدل‌سازی اماری رشد ترک در زمینه میکروساختاری در آلیاژ Ti-6Al-4V مورد مطالعه قرار دادند. آنها با استفاده از الگوریتم دانه‌بندی ورونوی¹⁵ مدل دو بعدی میکروساختار را تولید نمودند و مسئله را تحت شرایط کرنش سطحی حل نمودند. عدم استفاده از تئوری کریستال پلاستیسیته و در نظر گرفتن مدل دو بعدی برای میکروساختار موجب محدودیت نتایج حاصل از تحقیق یاد شده خواهد شد.

فولادهای ضدرنگ با توجه به خواص خوبی که دارند داری کاربردهای زیادی در صنعت می‌باشند. با توجه به کاربردهای فولاد ضدرنگ آستینیتی¹⁶ گرید 316L در محصولاتی با ابعاد کوچک مانند میکرولوله‌ها، تجهیزات

مزو¹ رفتار بسیار متفاوتی از آنچه در مقیاس ماکرو دارند از خود نشان می‌دهند. در نتیجه تنش‌های محلی، کرنش‌ها، و دوران‌های درون هر دانه به صورت غیریکنواخت² و ناپیوسته خواهد بود. تنش‌ها، کرنش‌ها و دوران‌ها نه تنها به جهت دانه‌ها بستگی خواهند داشت بلکه از قیدها و محدودیت‌هایی که دانه‌های مجاور ایجاد می‌کنند، نیز تاثیر خواهند پذیرفت.

تئوری پلاستیسیته مورد استفاده در ماکرومکانیک با استفاده از مشاهدات تجربی در مقیاس ماکرو پی‌بزی شده است که به پدیده‌های تغییرشکل در فلزات با یک دید محیط پیوسته نگاه می‌کند. این تئوری که با عنوان پلاستیسیته پدیداری³ نیز شناخته می‌شود، مکانیزم‌هایی که باعث ایجاد تغییرشکل پلاستیک می‌شوند را در نظر نمی‌گیرد و تغییرشکل را بصورت یکنواخت فرض می‌کند. در حالی که تغییرشکل در فلزات ناشی از لغزش در روی صفحاتی خاص و در جهاتی خاص می‌باشد که این باعث غیریکنواختی تغییرشکل در مقیاس میکروساختار می‌شود. به همین دلیل این تئوری در پیش‌بینی تغییرشکل در مقیاس میکروساختار و همچنین مطالعه تاثیرات مشخصات دانه‌ها و بافت فلز بر روی روند تغییرشکل ناتوان است. بنا بر آنچه گفته شد اخیراً استفاده از تئوری کریستال پلاستیسیته⁴ که با یک رویکرد فیزیکی تغییرشکل در فلزات کریستالی را مورد مطالعه قرار می‌دهد، مورد توجه محققان زمینه علم مواد و مکانیک قرار گرفته است.

با مدل‌سازی قوانین فیزیکی حاکم در مقیاس مزو یا همان مقیاس دانه، استخراج خواص مواد در مقیاس ماکرو امکان پذیر خواهد بود. این زمینه از مطالعات بین رشته‌ای مهندسی مواد و مکانیک که سعی در بررسی روش‌های مناسب برای مدل‌سازی مواد در مقیاس‌های متفاوت و ارتباط این مقیاس‌ها با یکدیگر دارد، با عنوان مدل‌سازی چند مقیاسی مواد⁵ شناخته می‌شود. مثلاً واماندگی در مقیاس ماکرو اغلب دلالت برایان دارد که نواحی مشخصی از ماده در مقیاس میکرو دچار واماندگی شده‌اند. به علاوه، ثابت شده که مشخصات مرزدانه‌ها در توضیح و کنترل پلاستیسیته مواد در دمای بالا، ابرپلاستیسیتی مواد⁶ و شکنندگی⁷ نقش بسزایی دارند^[1]. اساساً در که اینکه چه ریزساختاری آسیب‌پذیرتر می‌باشد، ما را به تولید موادی بهتر از لحاظ کارایی و بهره‌وری در مقیاس ماکرو قادر خواهد ساخت که مثال‌هایی از آن می‌توانند شامل تولید میکروساختار را فراتر الاستیک-پلاستک مطلوب در مقیاس ماکرو و یا تولید دوقلویی⁸ مقاوم به خودگی باشد^[2].

هدف زمینه مطالعاتی مدل‌سازی چند مقیاسی، توسعه امکانی برای انجام مطالعه بر روی میکروساختارهای متفاوت بدون نیاز به انجام عملیات هزینه بر آزمایشگاهی نظری سیکل‌های عملیات حرارتی برای به دست آوردن میکروساختار موردنظر، می‌باشد. برای مثال جهت مطالعه تاثیر بافت بر روی شکل‌پذیری ورق‌ها به تولید بافت موردنظر از لحاظ اندازه دانه و چینش جهات کریستالی دانه‌ها از طریق عملیات حرارتی نیاز است. یا جهت بررسی تاثیر درصد فازها بر روی رفتار فولادهای دوفازی تولید این نوع فولادها با درصد عناصر فازی مختلف ضروری است. مدل‌سازی چند مقیاسی بخش اعظمی از نیاز به این نوع عملیات آزمایشگاهی برای تولید میکروساختارها را از روی دوش محققان بر می‌دارد. مثلاً با داشتن یک المان حجمی نماینده⁹

1- Meso(10-5m)

2- Heterogeneous

3- Phenomenological plasticity

4- Crystal plasticity

5- Multi-scale material modeling

6- Superplasticity

7- fragility

8- Twining

9- Representative volume element

10- Scanning electron microscope

11- Voce

12- Element

13- Paul

14- Alumina

15- Voronoi

16- Austenite stainless steel

$$\dot{\gamma}^{(\alpha)} = \dot{a} \operatorname{sgn}\left(\frac{\tau^{(\alpha)}}{g^{(\alpha)}}\right)^n \quad (2)$$

$$\dot{g}^{(\alpha)} = \sum_{\beta} h_{\alpha\beta} \dot{\gamma}^{(\beta)} \quad \beta = 1, 2, \dots, 12 \rightarrow (\text{FCC}) \quad (3)$$

$$\dot{\sigma}_{ij} = C_{ijkl} (\dot{\varepsilon}_{kl} - \dot{\varepsilon}_{kl}^0) = C_{ijkl} \left(\dot{\varepsilon}_{kl} - \sum_{\alpha} \dot{\gamma}^{(\alpha)} \mu_{ij}^{(\alpha)} \right) \quad (4)$$

$\mu^{(\alpha)}$ تانسور مرتبه دوم اشمید است که بصورت رابطه (5) تعریف می‌شود:

$$\mu_{ij}^{(\alpha)} = \frac{1}{2} (s_k^{(\alpha)} m_i^{(\alpha)} + s_l^{(\alpha)} m_k^{(\alpha)}) \quad (5)$$

در این روابط α نمایانگر سیستم لغزشی می‌باشد که توسط $s^{(\alpha)}$ و $m^{(\alpha)}$ مشخص می‌شود. تعداد سیستم‌های لغزشی به نوع ساختار شبکه کریستالی بستگی دارد. برای مثال ساختار کریستالی FCC دارای چهار صفحه لغزشی مستقل، $\langle 111 \rangle$, می‌باشد که در هر کدام سه جهت لغزش مستقل، $\langle 110 \rangle$, وجود دارد که مجموعاً 12 سیستم لغزشی را تشکیل خواهد داد ($\alpha = 1, 2, \dots, 12$). در ابتدای تغییرشکل در همه سیستم‌های لغزشی $m^{(\alpha)} = 0$ می‌باشد و جهت لغزش $S^{(\alpha)}$ و نرمال بر صفحه لغزش $n^{(\alpha)}$ برای همه‌ی جزء‌های درون یک دانه خاص یکسان است. هنگامی که تغییرشکل پلاستیک رخ می‌دهد مقادیر بردار نرمال و جهت لغزش (در صورت استفاده از فرمول‌بندی کرنش محدود که در این مقاله از آن استفاده شده است، حتی در درون یک دانه نیز ممکن است دارای مقادیر مختلف برای هر کدام از 12 سیستم لغزش باشند). C_{ijkl} تانسور مرتبه چهار سفتی می‌باشد و اندیس‌های $ijkl$ مقادیر بین 1 تا 3 را به خود می‌گیرند. در حالت اولیه ($t=0$) $\varepsilon_{kl} = 0$, $g_0 = g_0$, $\gamma^{(\alpha)} = 0$, $\dot{\varepsilon}_{ij} = 0$ می‌باشند.

کرنش سختی مواد ماده مورد مطالعه با استفاده از مقاومت سیستم لغزشی نسبت به لغزش، $g^{(\alpha)}$, تعریف می‌شود. در شبکه کریستالی دو نوع سخت شوندگی تعریف می‌شود، اول خودسخت شوندگی¹² $h_{\alpha\alpha}$ و دوم سخت شوندگی نهان¹³ $h_{\alpha\beta}$ ، که بصورت مستقیم به کرنش برشی γ تجمعی تیلور مرتبط می‌شود [16]. این دو نوع سخت شوندگی به صورت رابطه (6) تعریف می‌شوند. کرنش برشی تجمی نیز در قالب رابطه (7) معرفی می‌شود.

$$\begin{cases} h_{\alpha\beta} = h(\gamma) = h_0 \operatorname{sech}^2 h_0 \gamma / (\tau_s - \tau_0) & \alpha = \beta \\ qh(\gamma) & \alpha \neq \beta \end{cases} \quad (6)$$

$$\gamma = \sum_{\alpha=0}^t |\dot{\gamma}^{(\alpha)}| dt \quad (7)$$

در این روابط h_0 مدول سخت شوندگی اولیه، τ_0 استحکام برشی اولیه، τ_s تنش شروع تغییرشکل پلاستیک بزرگ و q فاکتور سخت شوندگی می‌باشد. در مدل سخت شوندگی همسانگرد تیلور، مدول سخت شوندگی نهان و خودسخت شوندگی، یکسان در نظر گرفته می‌شوند. بنابراین مقدار q برای مدول سخت شوندگی همسانگرد برابر یک در نظر گرفته می‌شود. برای جلوگیری از اثرات وابستگی به نرخ (ویسکوپلاستیک) بر روی همگرایی تحلیل، باید مقدار نسبتاً بالایی برای n در نظر گرفته شود که در اینجا مقدار 55 در نظر گرفته شده است.

12- Self-hardening
13- Latent hardening
14- Taylor cumulative shear strain

پژوهشکی، استنت‌های¹ کرونری [11]. سرنگ‌های انسلین و سوزن‌های آنژیوگرافی، مطالعه میکرومکانیکی بر روی رفتار این ماده از ارزش بالایی برخوردار خواهد بود. این امر کمک خواهد کرد تا تاثیرات پارامترهای میکروساختاری نظیر جهات کریستالی دانه‌ها بر روی عملکرد محصولات یاد شده در مقیاس کاری، مورد بررسی قرار گیرد.

در این مقاله جهت بررسی رفتار تغییرشکل فولاد ضدزنگ 316L در مقیاس میکرو از روش اجزاء محدود کریستال پلاستیسیته² استفاده شده است. ابتدا روابط موجود در کریستال پلاستیسیته اجمالاً از نظر گذرانده خواهند شد. در بخش بعد برای انجام سنجش قابلیت استناد نتایج، روابط تحلیلی موجود در نرم‌افزار متلب در قالب برنامه‌ای پیاده‌سازی شده و مسئله تغییرشکل یک تک کریستال با استفاده از آن حل می‌شود. در ادامه نتایج حاصل از شبیه سازی اجزاء محدود با نتایج حاصل از حل تحلیلی مورد مقایسه قرار می‌گیرند. نتیجه مقایسه حاکی از تطابق نتایج حل تحلیلی و نتایج حاصل از روش اجزاء محدود کریستال پلاستیسیته است. در گام بعدی با هدف اثبات عدم توانایی روش اجزاء محدود ماکرومکانیک در شناسایی و پیش‌بینی رفتار تغییرشکل در مقیاس میکروساختار و همچنین بررسی رفتار نازک‌شدن³ تک کریستال، شبیه‌سازی آزمون کشش روی مدلی با یک دانه به روش اجزاء محدود کریستال پلاستیسیته انجام می‌شود و نتایج حاصل با نتایج بدست آمده از روش اجزاء محدود ماکرومکانیک (پیوسته)⁴ مقایسه می‌شوند. در نهایت برای بررسی تأثیر جهات کریستالی بر روی رفتار تغییرشکل فولاد ضدزنگ یاد شده، شبیه‌سازی اجزاء محدود کریستال پلاستیسیته بر روی المان حجمی نماینده⁵ با تعداد 10 دانه که با استفاده از روش ورنوی بصورت سه‌بعدی تولید شده، انجام گرفته است.

2- معادلات ساختاری کریستال پلاستیسیته

تئوری کریستال پلاستیسیته برای نمایش جریان نابجایی‌ها در راستای سیستم‌های لغزشی در فلزات کریستالی بر حسب تنش برشی مولفه شده⁶ استفاده می‌شود. در این تئوری فرض بر این است که تغییرشکل پلاستیک متشكل از مجموعه‌ای از لغزش‌های کریستالی در کل سیستم‌های لغزشی فعال می‌باشد [2]. اشمید [12] دریافت که لغزش پلاستیک زمانی اتفاق می‌افتد که تنش برشی مولفه شده روی صفحه‌ای کریستال‌وگرافی موسوم به صفحه لغزش و در جهت لغزش به یک حد بحرانی رسیده باشد. از همین روند لغزش γ در هر سیستم لغزشی α به تنش برشی $\tau^{(\alpha)}$ که بر روی سیستم لغزشی مذکور عمل می‌کند، مرتبط می‌شود. در این مقاله از مطالعات تیلور⁷ [13] هیل⁸ و رایس⁹ [14]، آسارو¹⁰ [15] پیروی شده که در زمینه تئوری کریستال پلاستیسیته پیش قدم می‌باشند. گزیده‌ای از معادلات بنیادی رفتار پلاستیک وابسته به نرخ (ویسکوپلاستیک)¹¹ کریستال در روابط (1) تا (4) آورده شده‌اند.

$$\tau^{(\alpha)} = \sigma_{ij} \mu_{ij}^{(\alpha)} \quad (1)$$

1- Stent

2- Crystal plasticity finite element method(CPFEM)

3- Necking

4- Macro-mechanic(continuum) finite element

5- Representative volume element

6- Resolved shear stress

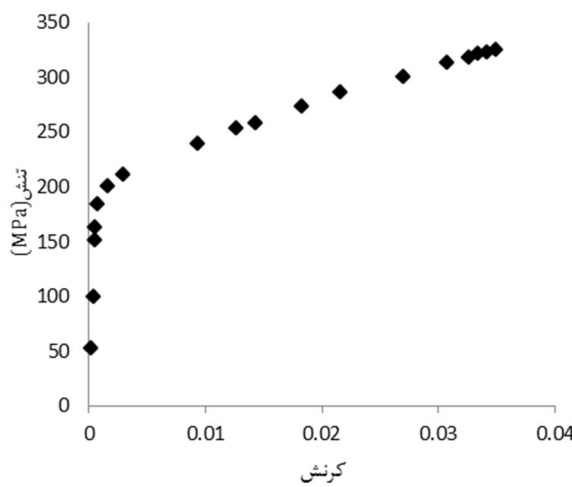
7- Taylor

8- Hill

9- Rice

10- Asaro

11- Visco-plasticity



شکل 2 نمودار تجربی تنش-کرنش فولاد ضدزنگ 316L

هندسی دانها، یکی از روش‌های تولید مدل میکروساختار، استفاده از روش تصویربرداری اشعه ایکس میکروتوموگرافی² می‌باشد که بعد از تصویربرداری از میکروساختار ماده، عکس گرفته شده باید در نرم افزارهای پردازش تصویر مورد پردازش قرار گیرد، برای نمونه می‌توان به پژوهش [18] مراجعه کرد. روشنی که به آن اشاره شد دارای مشکلات و پیچیدگی‌هایی از قبل گرانی تجهیزات و هزینه بر بودن انجام آزمایشات تصویربرداری و هم چنین نیاز به پردازش تصاویر، می‌باشد. همچنین اگر از دید مطالعه تاثیرات بافت و وضعیت دانها بر روی رفتار ماده به موضوع نگریسته شود، نیاز به تولید میکروساختارها با مشخصات گوناگون از طریق تصویربرداری از نمونه‌های مختلف، وجود دارد. این امر دلالت بر این دارد که عملیات حرارتی و تصویربرداری زیادی مورد نیاز است. موارد برشمرده شده به معنای محدودیت محققان در انجام مطالعات میکروساختاری خواهد بود.

روش جایگزین روش فوق که امروزه در بین محققان زمینه علم مواد کاربرد گسترده‌ای پیدا کرده است، استفاده از روش توصیف ریاضی برای یک میکروساختار که به اندازه کافی نزدیک به حالت واقعی ماده است می‌باشد. به نحوی که با استفاده از این توصیف یک تحلیل قابل استناد و معنی دار روی رفتار ماده بتوان انجام داد. در بین این روش‌های تقریبی استفاده از روش دانه‌بندی ورونوی³ بسیار مرسوم می‌باشد. دانه‌بندی ورونوی شامل تقسیم بندی یک ناحیه در فضای $D \in R^d$ به تعداد مشخصی ناحیه R_i در D می‌باشد، که هر کدام از این نواحی بر یکی از نقاط دانه‌ای P_i که دارای مکانی تعیین شده هستند، منطبق می‌باشند. این نواحی مجموعه‌ای از همهٔ نقاطی را تشکیل می‌دهند که به یک نقطه‌ی دانه‌ای خاص (یا به مفهوم آشنازتر نقطه جوانه‌ای) نزدیک‌تر از بقیه نقاط جوانه‌ای می‌باشد [19]. به عبارتی نرم ارائه شده در رابطه (8) (این که هر نقطه به چه دانه‌ای تعلق دارد را، تعیین می‌کند).

$$R_i = \left\{ X \in D : \|P_i - X\| < \|P_j - X\| \quad \forall i \neq j, \right\} \quad i, j = 1, 2, \dots, n \quad (8)$$

در این مقاله از نرم اقلیدسی استفاده گردیده است و دانه بندی در یک فضای سه بعدی و در ناحیه استوانه‌ای شکل انجام شده است. در این صورت نواحی حاصل به صورت محدب چند وجهی خواهد بود که معرف دانه‌های فولاد ضدزنگ مورد نظر می‌باشند. شایان ذکر است که این نوع ساختار دانه

2- X-ray microtomography

3- Voronoi tessellation

4- Seed point

3- خواص ماده

همان‌طور که عنوان شده ماده مورد استفاده در این تحقیق فولاد ضدزنگ 316L می‌باشد، در خواص الاستیک ماده مورد نظر بدليل تقارن سیستم مکعبی FCC سه ثابت الاستیک C_{11} , C_{12} و C_{44} برای معرفی خواص الاستیک ماده استفاده می‌شوند. خواص الاستیک از مرجع [17] استخراج شدن. آستنیت نسبت به دیگر فلزات دارای ساختار مکعبی مانند آلومینیوم، نیکل و فریت، ناهمسان‌گردی الاستیک بالایی دارد. آستنیت دارای سفت‌ترین جهت در راستای جهت قطری $\langle 111 \rangle$ می‌باشد. در حالی که نرم‌ترین جهت در راستای $\langle 100 \rangle$ قرار می‌گیرد (شکل 1).

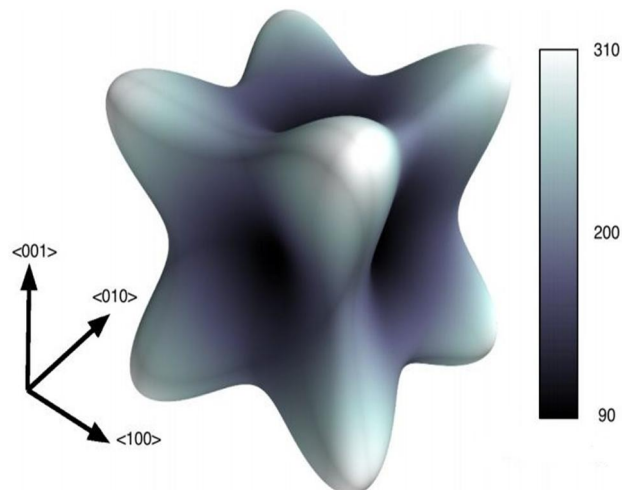
خواص پلاستیک تک‌کریستال برای ماده مستقیماً از طریق آزمایش تجربی بدست نمی‌آیند. روش استاندارد در تحقیقات برای کالیبره کردن پارامترهای مورد نیاز در قانون بنیادی¹ مدل ماده کریستال پلاستیسیته، اनطباق تغییرشکل پیش‌بینی شده توسط مدل با نمودار تنش-کرنش تجربی ماده در حالت مacro می‌باشد [9]. پارامترهای مورد نیاز در مدل ماده در جدول 1 آورده شده‌اند. در بدست آوردن این پارامترها از روش شرح داده شده استفاده شده است. نمودار تنش-کرنش تجربی ماده نیز در شکل 2 آورده شده است.

4- روند محاسباتی مورد استفاده در تحقیق

مدل‌سازی میکرومکانیک به روش اجزاء محدود کریستال پلاستیسیته شامل سه بخش می‌باشد: تولید میکروساختار- پیش پردازش- آنالیز اجزاء محدود کریستال پلاستیسیته به همراه پس پردازش.

4-1- تولید میکروساختار

جهت تحلیل عددی مواد با ساختار کریستالی در مدل‌سازی چند مقیاسی خواص هندسی دانه‌ها در ماده باید تا حد امکان نزدیک به حالت واقعی مدل شود. این خواص عبارت‌اند از اندازه دانه، جهت دانه‌ها و شکل

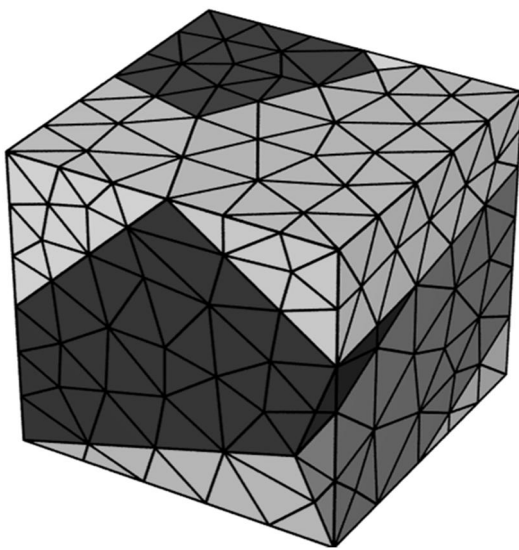


شکل 1 رویه مدل الاستیک وابسته به جهت آستنیت، نمایانگر وابستگی سفتی به جهت اعمال بار

جدول 1 مقادیر پارامترهای کریستال پلاستیسیته

C_{11} (GPa)	C_{12} (GPa)	C_{44} (GPa)	n	a	h_0	τ_s	τ_0
204/6	137/7	126/2	55	0/001	675	175	90

1- Constitutive law



شکل 4 نمونه میکروساختار سه بعدی تولید شده و مش زده شده با استفاده از
دانه‌بندی ورنوی با تعداد دانه 10

دستور اول فایلی با فرمت tess که خروجی مژول دانه‌بندی⁵ است، ایجاد می‌کند. این فایل حاوی موقعیت فضایی دانه‌ها و شکل هندسی آنها می‌باشد. در دستور دوم که پس از فرآخوانی بخش مش‌بندی در ترمینال، وارد می‌شود، فایل ایجاد شده در بخش دانه‌بندی را به بخش مش‌بندی فرا می‌خواند و عمل مش‌زنی روی آن را انجام می‌دهد. در ادامه از این میکروساختار تولید شده به عنوان المان حجمی نماینده جهت مطالعه تاثیر جهات کریستالی بر روی رفتار ماده، استفاده شده است.

4- پیش پردازش مدل میکروساختار

بعد از تولید مدل هندسی میکروساختار با تعداد دانه مشخص، در قالب فایل ورودی این میکروساختار به نرم افزار آباکوس معرفی می‌شود. سپس مراحل پیش پردازش از قبیل اضافه کردن شرایط مرزی، اعمال بار و غیره روی مدل و تعریف مشخصات جهات کریستالوگرافی دانه‌ها قبل از انجام تحلیل اجزاء محدود کریستال پلاستیسیته، انجام می‌گیرد.

جهات کریستالوگرافی به صورت اتفاقی در قالب زوایای اول⁶ که معمول ترین روش برای بیان جهات کریستالوگرافی می‌باشد تولید شد. این زوایا از طریق معرفی سه عدد n_1 , n_2 و n_3 در بازه صفر تا یک در رابطه (9)، بدست آمدند.[21]

$$\begin{cases} \varphi_1 = 360n_1 \\ \varphi = a\cos(2n_2 - 1) \\ \varphi_2 = 360n_3 \end{cases} \quad (9)$$

بعد از اینکه زوایای اول بر حسب توزیع عنوان شده محاسبه شدند، به جهت دارا بودن قابلیت بکارگیری در روابط کریستال پلاستیسیته، باید تبدیل به قالب شاخص‌های میلر⁷ [uvw] [hkl]، در بیان جهات کریستالی شوند. این تبدیلات با استفاده از روابط (10) تا (15) انجام می‌گردند.[21]

$$h = n \sin \varphi \sin \varphi_2 \quad (10)$$

$$k = n \sin \varphi \cos \varphi_2 \quad (11)$$

$$l = n \cos \varphi \quad (12)$$

$$u = n'(\cos \varphi_1 \cos \varphi_2 - \sin \varphi_1 \sin \varphi_2 \cos \varphi) \quad (13)$$

5- Tessellation
6- Euler angles
7- Miller indices

در موادی در شرایط زیر شکل می‌گیرند وجود خواهد داشت که این شرایط عبارت‌اند از:

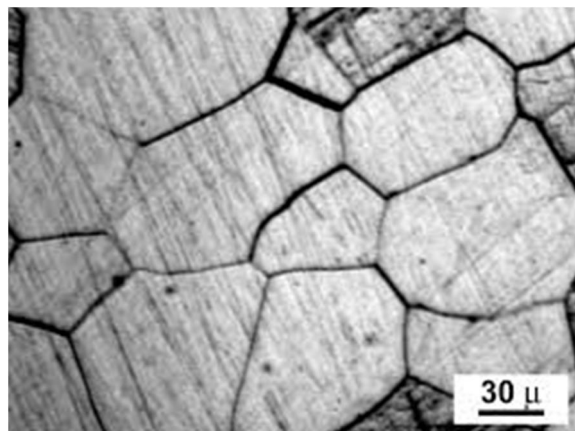
- دانه‌ها همزمان در نقاط جوانه‌زنی شروع به جوانه‌زنی می‌کنند.
- دانه‌ها در همه‌ی جهات و با یک رخ یکسان رشد می‌کنند.
- مرزدانه‌ها در جایی است که دانه‌ها به هم می‌رسند.

در شکل 3- (الف) و (ب) مقایسه میکروساختار واقعی و میکروساختار

تولید شده توسط دانه‌بندی ورنوی ملاحظه می‌شود.

برای بکارگیری الگوریتم ورنوی از نرم‌افزار متن باز² [20] برای تولید میکروساختار استفاده شده است. از نقاط قوت این نرم‌افزار این است که دارای بخش جداگانه برای مش‌زنی میکروساختار تولید شده می‌باشد که از کتابخانه الحاقی جی‌مش³ بهره می‌برد. این نرم‌افزار تنها قابل اجرا شدن روی سیستم‌های متن باز می‌باشد و قادر رابط گرافیکی کاربر⁴ است. دستورات ارجاعی دستورات در محیط لینوکس به نرم‌افزار وارد شوند. برای مثال دو دستور زیر برای تولید میکروساختار ارائه شده در شکل 4 بکار می‌روند.

```
$ neper -T -n 100 -id 1 -reg 1
$ neper -M -n 100-id1 -format inp
```



(الف)



(ب)

شکل 3 الف؛ میکروساختار واقعی یک فلز پلی کریستال، (ب) میکروساختار تولید شده توسط الگوریتم ورنوی

1- Open source
2- Neper
3- z-mesh
4- Graphical user interface

جدول 2 جهات کریستالوگرافی دانه‌ها در قالب شاخص‌های میلر

(hkl)	[uvw]	دانه / شاخص میلر
(021)	[412]	1
(111)	[314]	2
(013)	[131]	3
(013)	[531]	4
(211)	[011]	5
(110)	[111]	6
(313)	[233]	7
(111)	[211]	8
(411)	[122]	9
(162)	[201]	10

جدول 3 مقایسه حل تحلیلی اجزاء محدود تنش برشی

خطای مطلق	τ_{rss} -حل اجزاء محدود (MPa)	τ_{rss} -حل تحلیلی (MPa)	نیزه سیستم α -لغزشی
0/0009	0/0009	0/0000	1
0/0103	81/66	81/6497	2
0/0103	-81/66	-81/6497	3
0/0103	-81/66	-81/6497	4
0/0103	-81/66	-81/6497	5
0/0009	0/0009	0/0000	6
0/0009	0/0009	0/0000	7
0/0103	81.66	81/6497	8
0/0103	81.66	81/6497	9
0/0009	0/0009	0/0000	10
0/0103	81/66	81/6497	11
0/0103	-81/66	-81/6497	12

در انتهای دیگر مدل، جابجایی فقط در راستای محور Z اعمال شده است و در مابقی جهات مقید شده است (شکل 5). جهت‌گیری اولیه کریستال در قالب شاخص‌های میلر به صورت $[021][412]$ می‌باشد که در بیان زوایای اول $\theta = 41.2^\circ$ معادل $3/283^\circ$, $5/115^\circ$, $1/37^\circ$ قرار می‌گیرد. مدول یانگ فولاد ضذنگ 316L برابر $E = 200\text{ GPa}$ و ضریب پواسون برابر با $\nu = 0.3$ می‌باشد. در این بخش هدف این است تا با استفاده از تحلیل (CPFE) رفتار تک کریستال فولاد ضد زنگ 316L در ناحیه گلویی شدن مورد مطالعه قرار گیرد و با الگوی تغییرشکل ارائه شده در شکل 6 مقایسه شود. همچنین برای اثبات عدم توانایی روش اجزاء محدود ماکرومکانیک (یویسته) که از پلاستیسیته کلاسیک سود می‌برد، در پیش‌بینی رفتار ماده در میکرومکانیک، نتایج مدل سازی به روش اجزاء محدود ماکرومکانیک با نتایج حاصل از CPFE مقایسه شده است.

صفحات لغزش یک ساختار پله‌ای را در حین تغییرشکل ایجاد می‌کنند (شکل 6). هر پله نمایانگر نوارهای لغزشی می‌باشد که در حالت ماکرو این نوارها و خطوط لغزش مفهومی آشنا دارند. لبه جزء‌ها دارای جهتی مشابه با جهت خطوط لغزش می‌باشند. هنگامی که صفحات کریستالی در حین آزمون کشش روی هم می‌لغزند، منجر به وجود آمدن جابجایی نسبی نیمه‌ی بالایی

4- Euler angles

$$v = n'(-\cos \varphi_1 \sin \varphi_2 - \sin \varphi_1 \cos \varphi_2 \cos \varphi) \quad (14)$$

$$v = n' \sin \varphi \sin \varphi_1 \quad (15)$$

در این روابط n و n' ضرایب صحیح می‌باشند که برای بدست آوردن اعداد صحیح در روابط ضرب می‌شوند. جهات کریستالوگرافی اختصاص یافته به دانه‌ها در قالب شاخص‌های میلر در جدول 2 آورده شده‌اند.

4-3- تحلیل اجزاء محدود کریستال پلاستیسیته

از آنجا که مدل ماده‌ی کریستال پلاستیسیته در نرم افزار اباکوس تعریف نشده این مدل ماده باید در قالب کد زیر برنامه UMAT¹ که از قابلیت‌های نرم افزار آباکوس برای تعریف مدل مواد جدید می‌باشد، بکار گرفته شود. این کد قابلیت انجام تحلیل‌های تغییرشکل‌های کوچک، تغییرشکل‌های بزرگ با کارگیری تئوری کرنش محدود² و چرخش محدود³ را دارد می‌باشد. این کد امکان انجام تحلیل‌های تنش کریستال‌ها را در نرم افزار آباکوس را فراهم می‌کند. در این کد استحکام جاری، کرنش‌های برشی، بردار عمود بر صفحات لغزش، جهات لغزش و کرنش برشی کل به عنوان متغیرهای حالت و استهه به حل در نظر گرفته شده‌اند.

5- نتایج و بحث و بررسی

5-1- اعتبارسنجی مدل مورد استفاده

جهت اعتبارسنجی مدل روابط سینماتیک تغییرشکل کریستال‌ها که در منابع [22] موجود می‌باشند در قالب کدی در نرم‌افزار متلب به کار گرفته شد. در این کد می‌توان برای دو ساختار مکعبی FCC و BCC در ماده‌ای مشخص، با وارد کردن مقدار تنش برشی بحرانی مولفه شده و تانسور تنش وارد بر کریستال تنش برشی موثر در هر سیستم لغزشی را بدست آورد. علاوه بر این، چرخش دستگاه مختصات چسبیده به کریستال نسبت به دستگاه مختصات مرجع هم می‌باید در محاسبه تنش برشی مولفه شده توسط کد در نظر گرفته شود. با وارد کردن اطلاعات ذکر شده به کد متلب می‌توان اطلاعات مربوط به تانسور اشمید و تنش برشی مولفه شده در هر سیستم لغزشی که جزو پارامترهای تعیین کننده در نوع رفتار ماده می‌باشند را استخراج نمود. تغییرشکل یک تک کریستال مکعبی در حالتی که تنشی در راستای جهت $\langle 100 \rangle$ به آن اعمال می‌شود با استفاده از این کد حل شد. از طرفی همین تغییر شکل نیز با استفاده از زیربرنامه UMAT در آباکوس مورد تحلیل کریستال پلاستیسیته قرار گرفت. ادامه نتایج مربوط به مقدار تنش برشی مولفه شده τ_{555} حاصل از مدل اجزاء محدود کریستال پلاستیسیته با نتایج حاصل از برنامه متلب مقایسه می‌شوند. نتیجه مقایسه حاکی از تطابق خوب نتایج تحلیل و نتایج اجزاء محدود است که صحت روند اجزاء محدود استفاده شده را تایید می‌کند (جدول 3).

5-2- شبیه‌سازی سه‌بعدی آزمون کشش تک کریستال

در این بخش آزمون کشش تک محوه به عنوان یکی از پایه‌ای ترین آزمون‌ها جهت شناسایی خواص مواد، به روش اجزاء محدود کریستال پلاستیسیته (CPFE) بر روی یک مدل تک کریستال شبیه‌سازی می‌شود. شکل مدل مورد استفاده به صورت استوانه با قطر و طول به ترتیب 1 و 4 میلی‌متر می‌باشد. شرایط مرزی به گونه‌ای می‌باشند که مدل از یک انتها در تمام جهات ثابت شده است و از هر گونه چرخش آن ممانعت به عمل آمده است. و

1- User defined material subroutine

2- Finite strain

3- Finite rotation

صفحات لغزش می‌باشد. تفاوت مشهود دیگر در رفتار تغییرشکل تک‌کریستال و مدل کلاسیک در منحنی بار-ازدیاد طول آنها می‌باشد. باز مورد نیاز برای تغییرشکل در مدل کلاسیک (ماده همگن)، بیشتر از بار مورد نیاز یک تک‌کریستال می‌باشد. دلیل این مسئله را می‌توان در وجود مرزدانه‌ها به عنوان موانعی در سر راه حرکت نابجایی‌ها در ماده همگن، مستحب کرد. پس می‌توان نتیجه گرفت که هرچه تعداد دانه در فلز بیشتر باشد نیروی بیشتری برای تغییرشکل نیاز می‌باشد.

شکل 9 نمایانگر منحنی بار-ازدیاد طول حاصل از تحلیل المان محدود آزمون کشش مدل تک‌کریستال با استفاده از تئوری کریستال پلاستیسیته و هم‌چنین نمودار حاصل از تحلیل اجزا محدود مدل کلاسیک است.

نتیجه حاصل شده در این قسمت در تطابق با فیزیک تغییرشکل مواد کریستالی است که بر این واقعیت که مواد ریزدانه (ماده با تعداد دانه‌های بیشتر) در دمای پایین استحکام بالاتری دارند صحه می‌گذارند [24].

در شکل 10 مقایسه بین منحنی‌های تنش-کرنش حاصل از دو مدل فوق‌الذکر با منحنی تجربی انجام شده است. همان‌طور که پیش‌بینی می‌شد، منحنی‌های حاصل از آزمون تجربی و روش اجزاء محدود مکرومکانیک بر یکدیگر منطبق هستند. ولی منحنی بدست آمده از شیوه‌سازی آزمون کشش تک‌کریستال به مراتب مقادیر کمتری نشان می‌دهد. این بدین معنی می‌باشد که باز مورد نیاز برای تغییرشکل تک‌کریستال به مراتب کمتر از بار مورد نیاز برای تغییرشکل پلی‌کریستال‌ها می‌باشد. در واقع با افزایش تعداد دانه‌ها نواحی مرزدانه‌ای افزایش پیدا می‌کنند و نواحی مرزدانه‌ای بیشتر یعنی ایجاد موانع بیشتر در سر راه حرکت نابجایی‌هایی که با حرکت خود تغییرشکل پلاستیک را بوجود می‌آورند. وجه اهمیت این نتیجه از آن جهت است که قادر بوده‌ایم این نتیجه را بدون انجام آزمون تجربی کشش روی یک تک‌کریستال، و صرفاً با روش اجزاء محدود ارائه شده پیش‌بینی کنیم.

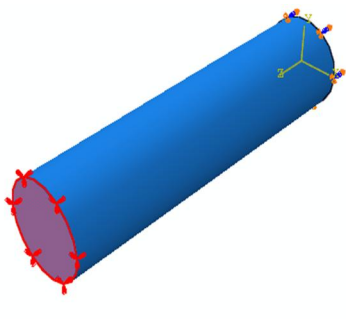
5- مدل‌سازی تغییرشکل پلی‌کریستال بر روی المان حجمی نماینده (RVE)

در این بخش با هدف بررسی تاثیر جهات کریستالی دانه‌ها بر روی رفتار تغییرشکل ماده، تحلیل اجزاء محدود کریستال پلاستیسیته بر روی یک مدل پلی‌کریستالی انجام شده است. این مدل متشکل از ده دانه فولاد ضذنگ 316L می‌باشد. بارگذاری و شرایط مرزی روی RVE مطابق شکل 11 تنظیم شده‌اند. جابجایی گره‌های قرار گرفته در سطح بالایی مدل میکروساختار در راستای y برابر با 0.05 میلی‌متر می‌باشد. در مقابل، گره‌های قرار گرفته روی سطح کف مدل در راستای y مقید شده‌اند (شکل 11).

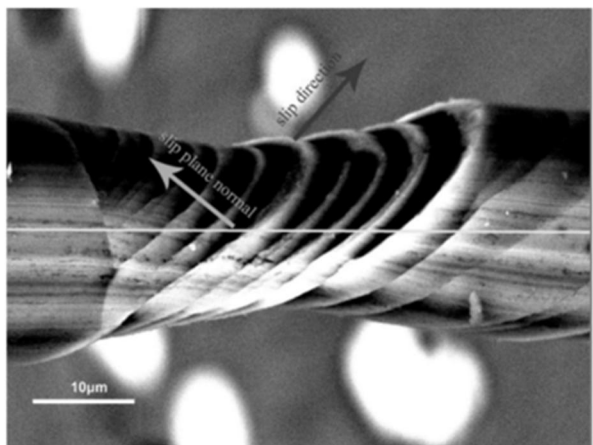
تحلیل اجزاء محدود مدل‌های میکروساختاری، RVE، به روش کریستال پلاستیسیته نیازمند این است که برای هر جزء خواص مکانیکی و فیزیکی را که تعیین کننده رفتار آن می‌باشد را تعریف نماییم. در واقع باید بتوان بسته به این که هر جزء متعلق به کدام دانه است، برای آن خواص مورد نظر را تعریف کرد. هر دانه در مدل RVE، متشکل از مجموعه‌ای از جزء‌ها می‌باشد، پس می‌توان به جای اینکه برای هر جزء خواص جداگانه تعریف کرد، جزء‌های تشکیل دهنده هر دانه را درون یک دسته¹ (مجموعه جزء‌ها با شماره مشخص در آباکوس)، جداگانه قرار داد. سپس خواص هر دانه را به دسته‌ای که نمایانگر دانه مورد نظر می‌باشد اختصاص داد.

نمونه نسبت به نیمه‌ی پایینی خواهد شد. ولی از آنجا که در حالت واقعی آزمون کشش و همین‌طور در هنگام شبیه‌سازی هر دو سر نمونه مقید می‌شوند، جابجایی نیمه بالایی نسبت به نیمه پایینی محدود می‌شود. در عوض این محدودیت با چرخش صفحات کریستالی در حین تغییرشکل جبران می‌گردد (شکل 6 و 7). در شکل 7-(الف) که فرآیند با استفاده از روش اجزاء محدود مکرومکانیک مدل شده است، اثری از چرخش و تحول شبکه و حالت پله‌ای شدن در اثر چرخش، که همان نقش بافت در شکل 7-(ب) این چرخش در شبکه و پله‌ای شدن در رفتار میکروساختار، که مطابق با الگوی تغییرشکل تک‌کریستال است (شکل 6)، با استفاده از تحلیل اجزاء محدود کریستال پلاستیسیته قابل پیش‌بینی بوده است.

نکته قبل توجه دیگر در رفتار تغییرشکل تک‌کریستال این است که رفتار موضعی شدن تغییرشکل در تک‌کریستال هم از آنچه در حالت ماکرو اتفاق می‌افتد، متفاوت است. در حالتی که مدل‌سازی مکرومکانیک با استفاده از تئوری کلاسیک پلاستیسیته و مدل ماده پدیداری انجام شود، سطح مقطع در ناحیه گلوبی شدن به صورت یک دایره کامل است که با آنچه در آزمون کشش یک نمونه در حالت ماکرو اتفاق می‌افتد، مطابقت دارد. اما در حالت میکرو و استفاده از تئوری کریستال پلاستیسیته وضعیت متفاوتی وجود دارد و سطح مقطع به شکل یک بیضی می‌باشد. این پدیده در شکل 8 به نمایش گذاشته شده است. دلیل بیضوی شدن سطح مقطع در منطقه موضعی شدن تغییرشکل، چرخش شبکه و محدودیت تغییرشکل کریستال‌ها در امتداد



شکل 5 مدل استفاده شده برای شبیه‌سازی آزمون کشش



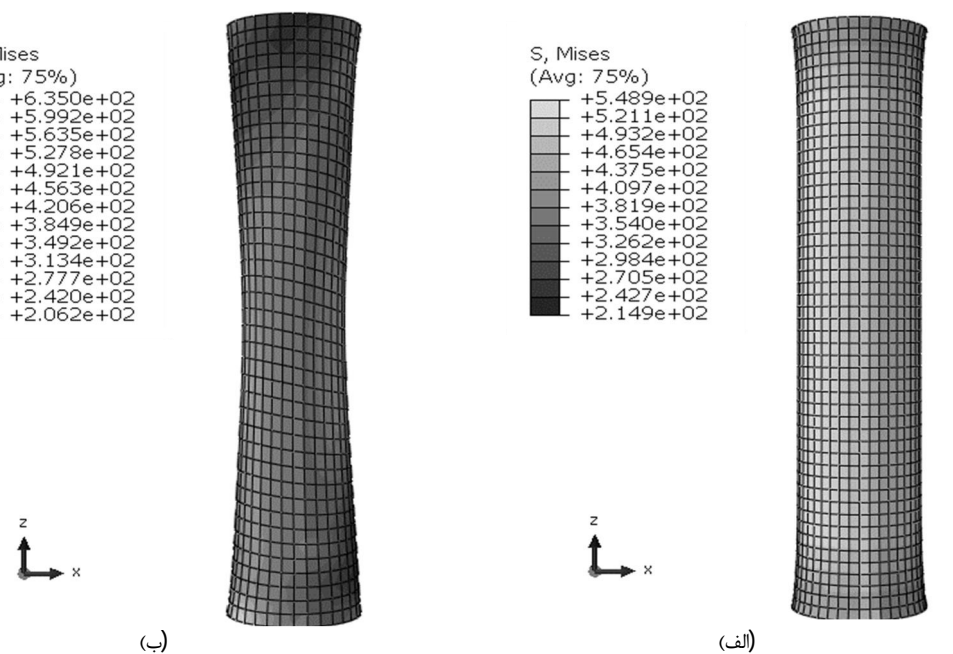
شکل 6 لغزش در آزمون کشش نمونه تک کریستال [23]

گذشته شده است. اشکال ذکر شده قبلی نمایانگر این واقعیت است که دانه‌هایی که دارای مقدار تنفس برشی مولفه شده، τ_{RSS} ، بزرگتری روی صفات لغزشی خود می‌باشد، تغییرشکل در آنها زودتر از مابقی دانه‌ها اتفاق می‌افتد. در عوض دانه‌هایی وجود دارند که امکان دارد در آنها هنوز مقدار تنفس برشی روی صفات لغزش به حد بحرانی نرسیده باشد و به تبع آن تغییرشکل پلاستیک اتفاق نیفتد. همین امر سبب بوجود آمدن تغییرشکل ناهمگن در RVE می‌شود که با توجه به مدل‌های ارائه شده این واقعیت مشهود می‌باشد. در شکل 14، نمای تکیک شده دانه‌ها در میکروساختار و حالت تنفس برشی مولفه شده در هر یک از آنها، ملاحظه می‌شود. بعضی از دانه‌ها در حالت بیشترین تنفس برشی مولفه شده و برخی در حالت کمترین قرار دارند.

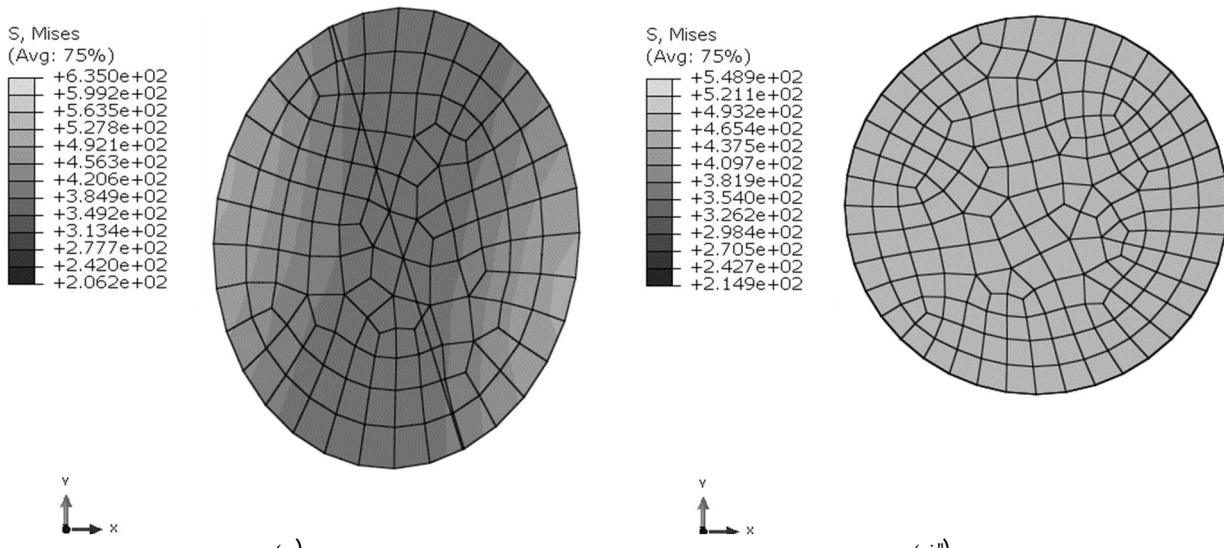
به منظور مطالعه تاثیر جهات کریستالی بر روی پاسخ تنفس-کرنش ماده، پنج گروه جهات کریستالی برای مدل با تعداد 10 دانه در نظر گرفته شد که در هر تحلیل یک گروه از این جهات مورد استفاده قرار گرفت.

هر دانه به صورت جداگانه در بافت فلز دارای ماهیت رفتار تغییرشکل ناهمسان‌گرد و غیریکنواخت می‌باشد. در حالت ماکرو وقتی تعداد دانه‌های فلز خیلی زیاد است، این رفتار ناهمسان‌گرد تک‌تک دانه‌ها در رفتار توده فلز تاثیر چندانی نشان نمی‌دهد. ولی هنگامی که ابعاد ماده کاهش پیدا می‌کند تعداد دانه‌ها نیز در بافت فلز به شدت کاهش می‌یابد، کم بودن تعداد دانه‌ها باعث می‌شود که رفتار ماده کاملاً وابسته به رفتار تک‌تک دانه‌ها شود. بنابراین تغییرشکل ماده کاملاً غیریکنواخت می‌شود. در این حالت رفتار

وابستگی به جهت در رفتار ماده نمایانگر می‌شود. در این حالت رفتار در بافت فلز هر دانه دارای جهت کریستالوگرافی معینی می‌باشد که متمایز از سایر دانه‌ها است. همین امر سبب توزیع غیریکنواخت تنفس در بین

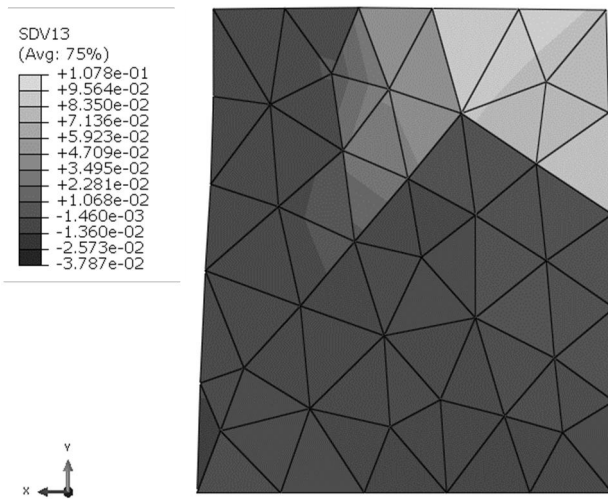


شکل 7 نمای تغییرشکل یافته مدل؛ (الف) مدل کلاسیک، (ب) مدل المان محدود کریستال پلاستیسیته

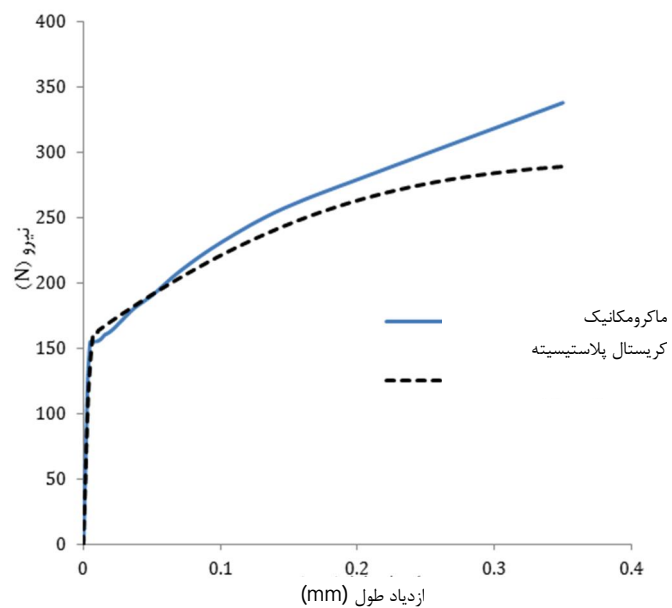


شکل 8 سطح مقطع ناحیه موضعی شدن تغییرشکل، (الف): مدل‌سازی تک کریستال با استفاده از تئوری کریستال پلاستیسیته (CPFE)

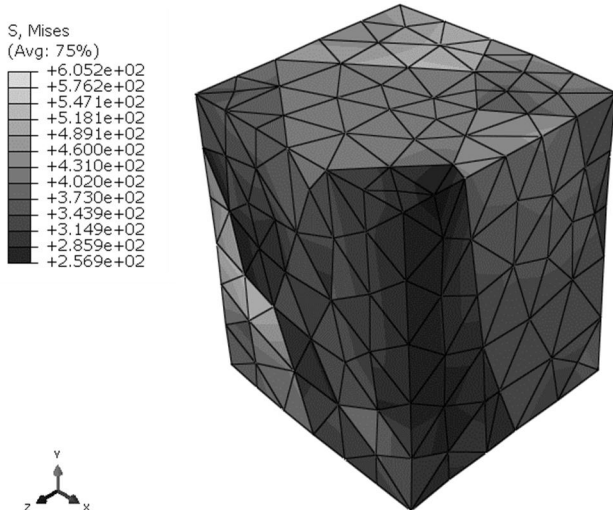
تنش-کرنش ماده نیز پراکندگی بوجود می‌آید (شکل 15). در این شکل نمودارهای تنش-کرنش مربوط به تحلیل‌ها با گروه‌های جهات کریستالوگرافی مجزا به همراه نمودار تنش-کرنش تجربی آورده شده است. با توجه به این



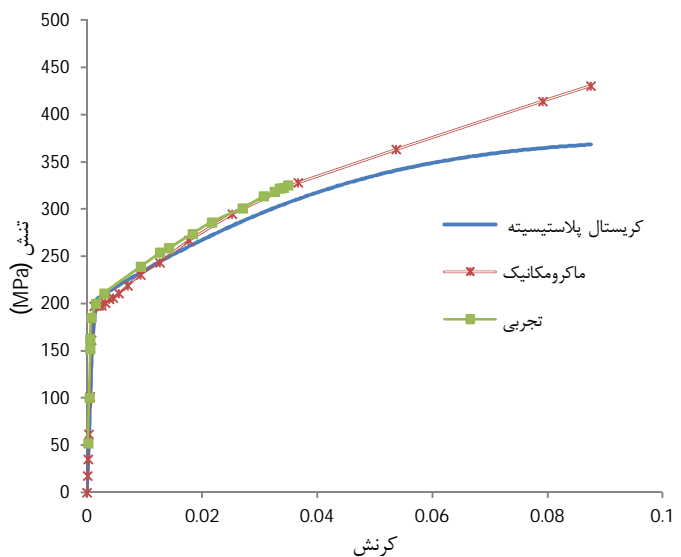
شکل 12 تغییر شکل ناهمگن



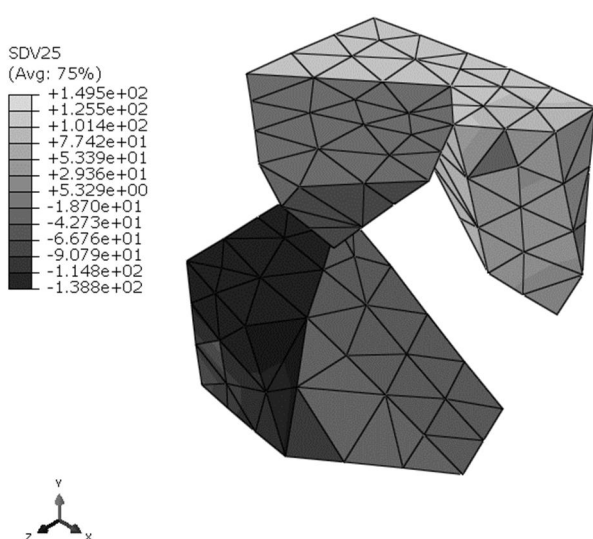
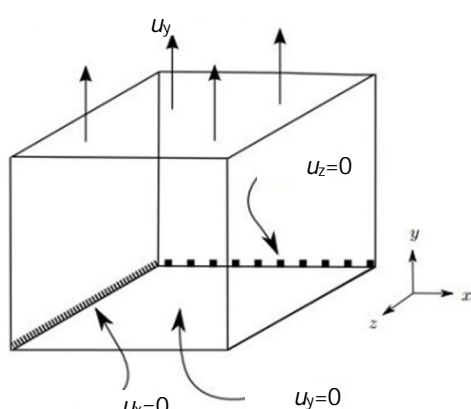
شکل 9 منحنی بار-ازدیاد طول حاصل از دو روش



شکل 13 توزیع غیریکنواخت تنش فون میز



شکل 10 مقایسه نمودار تنش کرنش برای مقادیر تجربی، تحلیل کلاسیک، و تحلیل کریستال پلاستیسیته (CPFE)

شکل 14 توزیع تنش برشی مولفه شده τ_{RSS} در میکروساختار

شکل 11 شرایط مرزی اعمال شده روی المان حجمی نماینده (RVE)

نتایج مربوط به نمودارهای تنش-کرنش حاصل از تحلیل اجزاء محدود کریستال پلاستیسیته نشان می‌دهند که با تغییر جهات کریستالی در نمودار

جهت می‌باشد. در مقیاس ماکرو وابستگی به جهت در رفتار تنش-کرنش ماده به ناهمسان‌گردی تعییر می‌شود. پس نتیجه گرفته می‌شود که هر دانه، تغییرشکل کاملاً ناهمسان‌گرد دارد. این ناهمسان‌گردی به همراه کرنش بین دانه‌های مختلف در بافت فلز منشا رفتار غیریکنواخت فلز در تغییرشکل در مقیاس مزو می‌باشد.

7- تقدیر و تشکر

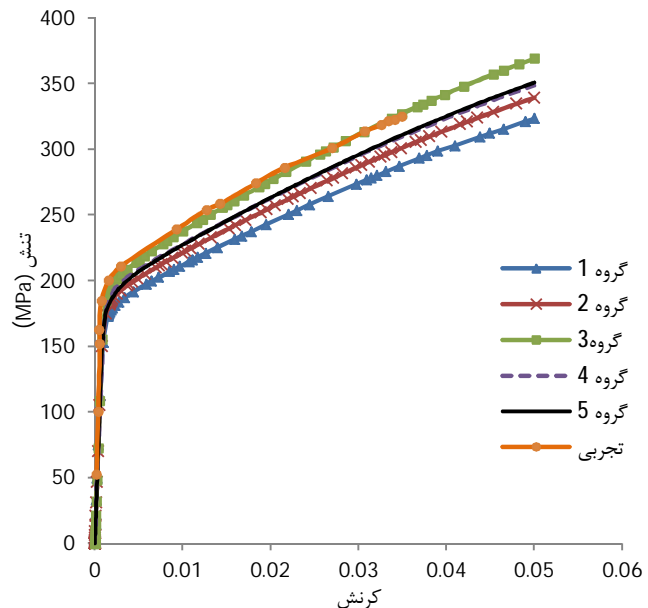
در پایان مولفین وظیفه خود می‌دانند تا از دکتر رومین کوئی² عضو بخش تحقیقات مواد موسسه ایکول فرانسه که از راهنمایی‌ها و مشورت‌های ایشان در طول انجام این تحقیق جهت ایجاد مدل هندسی میکروساختار و جهات کریستالی بهره‌مند شده‌اند، تشکر نمایند.

8- مراجع

- [1] T. Watanabe, Grain boundary design and control for high temperature materials, *Materials Science and Engineering: A*, Vol. 166, No. 1, pp. 11-28, 1993.
- [2] R. J. Asaro, V. A. Lubarda, *Mechanics of Solid and material* United States of America Cambridge University Press, 2006.
- [3] F. Franklin, J. Garnham, D. Fletcher, C. Davis, A. Kapoor, Modelling rail steel microstructure and its effect on crack initiation, *Wear*, Vol. 265, No. 9, pp. 1332-1341, 2008.
- [4] P. Eyrard, I. Alvarez-Armas, V. Aubin, S. Degallaix, Polycrystalline modeling of the cyclic hardening/softening behavior of an austenitic-ferritic stainless steel, *Mechanics of Materials*, Vol. 42, No. 4, pp. 395-403, 2010.
- [5] M. Jafari, M. Talaei, S. Ziae Rad, Simulation the mechanical behavior of polycrystalline Fe by using crystal plasticity and Molecular dynamic methods, *Modares Mechanical Engineering*, Vol. 13, No. 9, pp. 138-148, 2013. In Persian
- [6] M. Marvi-Mashhad, M. Mazinani, A. Rezaee-Bazzaz, FEM modeling of the flow curves and failure modes of dual phase steels with different martensite volume fractions using actual microstructure as the representative volume, *Computational Materials Science*, Vol. 65, pp. 197-202, 2012.
- [7] T. Han, D. P. Lattice Strain Partitioning in a Two-phase Alloy and its Redistribution upon Yielding *Materials Sci. and Eng.*, Vol. 405, pp. 18-33, 2005.
- [8] S. K. Paul, Real microstructure based micromechanical model to simulate microstructural level deformation behavior and failure initiation in DP 590 steel, *Materials and Design* pp. 397-406, 2013.
- [9] D. Gonzalez, *A contribution on modelling deformation and residual stress in 3D polycrystals*, PhD Thesis, Faculty of Engineering and Physical Sciences, Faculty of Engineering and Physical Sciences, UK, 2012. English
- [10] S. Rahnama, k. farhangdoost, *Development of Statistical Modeling of crack Growth in Ti-6Al-4V microstructure*, Ph.D Thesis, department of mechanical engineering, Ferdowsi University Of Mashhad, Iran, 2012.
- [11] M. Imani, A. M. Goudarzi, J. Mahdinejad, Assessing the influence of stent geometry and material properties on the outcome after coronary stenting using finite element method, *Modares Mechanical Engineering*, Vol. 14, No. 4, pp. 45-53, 2014. In Persian
- [12] E. Schmid, Über die Schubverfestigung von Einkristallen bei plastischer Deformation, *Zeitschrift für Physik*, Vol. 40, No. 1-2, pp. 54-74, 1926.
- [13] G. I. Taylor, Analysis of plastic strain in a cubic crystal, *Stephen Timoshenko 60th Anniversary Volume*, pp. 218-224, 1938.
- [14] R. Hill, J. R. Rice, Constitutive analysis of elastic-plastic crystals at arbitrary strain, *Journal of the Mechanics and Physics of Solids*, Vol. 20, pp. 401, 1972.
- [15] R. J. Asaro, Micromechanics of crystals and polycrystals, *Advances in applied mechanics*, Vol. 23, pp. 1-115, 1983.
- [16] D. Peirce, R. Asaro, A. Needleman, An analysis of nonuniform and localized deformation in ductile single crystals, *Acta metallurgica*, Vol. 30, No. 6, pp. 1087-1119, 1982.
- [17] H. M. Ledbetter, Monocrystal-polycrystal elastic constants of a stainless steel, *Physica Status Solidi (a)*, Vol. 85, No. 98, pp. 89-96 1984.
- [18] Y. Bhandari, S. Sarkar, M. Groeber, M. Uchic, D. Dimiduk, S. Ghosh, 3D polycrystalline microstructure reconstruction from FIB generated serial sections for FE analysis, *Computational Materials Science*, Vol. 41, No. 2, pp. 222-235, 2007.
- [19] S. N. Chiu, D. Stoyan, W. S. Kendall, J. Mecke, *Stochastic geometry and its applications*: John Wiley & Sons, 2013.
- [20] R. Quey, P. Dawson, F. Barbe, Large-scale 3D random polycrystals for the finite element method: Generation, meshing and remeshing, *Computer*

2- Romain quey

مهندسی مکانیک مدرس، اردیبهشت 1394، دوره 15، شماره 2



شکل 15 نمودار تنش-کرنش به ازای جهات کریستالی مختلف

شکل پیداست که به ازای هر گروه از جهات کریستالی ماده پاسخ تنش-کرنش متفاوتی از خود نشان می‌دهد. در واقع تاثیر پارامتر میکروساختاری جهات کریستالولوگرافی بر روی رفتار در مقیاس ماکرو کاملاً مشهود است. همان‌طور که از شکل پیداست در قسمت الاستیک پاسخ هر پنج مدل یکسان است. این مسئله از آنجا که فرض می‌شود تنش الاستیک تنها از قسمت الاستیک گرادیان تغییرشکل تاثیر می‌پذیرد، قابل پیش‌بینی بود [2].

6- نتیجه گیری

در این مقاله رفتار تغییرشکل فولاد ضد زنگ 316L در مقیاس میکرو و مزو مدل‌سازی شد. ابتدا اعتبارسنجی مدل مورد استفاده از طریق برنامه نویسی و رابط تحلیلی در متلب انجام شد. سپس با ارائه دو نوع مدل‌سازی به روش کریستال پلاستیسیته و روش اجزاء محدود مکرومکانیک که از روابط پلاستیسته کلاسیک سود می‌برد، اثبات شد که روش اجزاء محدود ماکرومکانیک ابزار توانمندی در مدل‌سازی رفتار ماده در مقیاس‌های مزو و میکرو نمی‌باشد. در عوض کارآمدی روش اجزاء محدود کریستال پلاستیسیته نشان داده شد. به نحوی که این روش توانایی مطالعه تاثیر پارامترهای میکروساختاری نظری اندازه دانه و جهات کریستالولوگرافی بر روی پاسخ تنش-کرنش ماده و مدل کردن تغییرات بافت در حین تغییرشکل و الگوهای توزیع تنش و کرنش در میکروساختار را دارا می‌باشد. این توانایی‌ها در بسیاری از تحلیل‌های مکرومکانیک حائز اهمیت فراوان می‌باشند. در ادامه یک مدل دانه‌بندی میکروساختار با تعداد 10 دانه ایجاد شد. برای این مدل جهات کریستالی متفاوتی تخصیص داده شد و تاثیرات جهات کریستالی بر روی رفتار ماده گزارش شد. مشخص شد که با تغییر جهات، در نمودار تنش-کرنش ماده پراکندگی ایجاد می‌شود. نتایج این بخش حاکی از اهمیت تاثیر بافت و وضعیت کریستالولوگرافی دانه‌ها بر روی پاسخ ماده در حالت ماکرو می‌باشد. به نحوی که می‌توان با انجام طراحی حساس به میکروساختار بهترین کارایی را از ماده در مقیاس ماکرو بدست آورد. همچنین با مطالعه نمودارهای تراز¹ تغییرشکل حاصل از شبیه‌سازی اجزاء محدود کریستال پلاستیسیته مشخص است که تغییرشکل در مقیاس مزو کاملاً غیریکنواخت و وابسته به

1- Contours

- Design for Performance Optimization*, US: Butterworth Heinemann, 2012.
- [23] I. Robertson, A. Beaudoin. *In-Situ TEM Straining of Pre-Deformed Materials to Determine Constraints of Dislocation-Boundary Interactions*, Accessed.
- [24] G. E. Dieter, D. Bacon, *Mechanical metallurgy*: McGraw-Hill New York, 1986.
- Methods in Applied Mechanics and Engineering*, Vol. 200, pp. 1729-1745, 2011.
- [21] R. Quey, *The documentation for Orientation Library 2.0 A collection of routines for orientation manipulation*, Ecole Nationale Supérieure des Mines de Saint-Étienne, France, pp. 2008.
- [22] B. L. Adams, S. R. Kalidindi, D. T. Fullwood, *Microstructure Sensitive*